

---

УДК 621.3

**В. В. Гармаш; А. Я. Кулик, д. т. н., проф.; А. С. Васюра, к. т. н., проф.;  
А. В. Васьковский**

## **ОПТИМАЛЬНЫЙ ИНТЕРПОЛЯЦИОННЫЙ ФИЛЬТР ДЛЯ УМЕНЬШЕНИЯ БЛОЧНОЙ СТРУКТУРЫ ИЗОБРАЖЕНИЙ**

*Представлен оптимальный интерполяционный фильтр для уменьшения артефакта блочной структуры, который появляется на изображениях, сжатых с использованием дискретного косинусного преобразования. Предложенный метод эффективно и относительно просто уменьшает блочную структуру, не вызывая искажений других характеристик качества изображения.*

**Ключевые слова:** изображение, сжатие, артефакты, блочная структура, дискретное косинусное преобразование, качество изображений, фильтрация, интерполяция, PSNR.

### **Актуальность**

Цифровая обработка изображений (ЦОИ) в наше время широко используется в системах телекоммуникаций, радио- и гидролокаций, сейсмологии, робототехнике, радиоастрономии, медицине и т. д. Переход на цифровое телерадиовещание, широкое использование сетей разного назначения, в том числе и сети Интернет, также способствуют развитию данного направления обработки сигналов.

На сегодняшний день для устройств ЦОИ является характерной **проблемой** постоянное возрастание объема обрабатываемой информации, повышение требований к качеству обработки, работа в сложных условиях низкого соотношения сигнал/шум. Все это стимулирует появление новых методов и более сложных алгоритмов, используемых в системах ЦОИ. Среди них можно выделить нелинейные алгоритмы фильтрации и восстановления изображений, вейвлет-обработку, а также системы, построенные на нечеткой логике, генетических алгоритмах, нейронных сетях [1]. Поэтому **задача** улучшения качества изображений является актуальной.

### **Анализ последних исследований**

Большинство методов кодирования изображений или видеинформации заключаются в делении изображения или кадра на квадратные блоки с последующим кодированием каждого блока с использованием дискретного косинусного преобразования (ДКП). Такой метод называется блочным ДКП [2, 3]. Размер каждого блока в большинстве случаев составляет 8 x 8 пикселей, но в некоторых случаях он может быть 4 x 4 пикселя, 16 x 16 пикселей [4, 5, 6]. Блочное дискретное косинусное преобразование (БДКП) используют в стандартах JPEG и MPEG и в стандартах кодирования видео ITU (H.261, H.263) [4]. Вместе с тем, в случае высокой степени сжатия результаты БДКП приводят к визуальным искажениям изображения после декодирования. Одно из таких искажений – блочная структура.

Согласно [3] блочная структура представляет собой вертикальные и горизонтальные ложные контуры, которые периодически возникают на изображении, особенно на однородных областях (где яркость пикселей одинакова или почти одинакова).

Зрительная система человека чувствительна к контурам, особенно к вертикальным и горизонтальным, в частности в однородных областях изображения [7]. Согласно [8] блочную структуру можно рассматривать как высокочастотный шум, который менее заметен на участках изображения с высокой детализацией, но значительно заметен на однородных участках изображения. Проблема блочной структуры усложняется ее нелинейным характером и сильной зависимостью от поведения зрительной системы человека, которая

также является нелинейной [7].

В [9] и [10] авторами предложен метод для уменьшения блочной структуры с использованием вейвлет-преобразования без применения «пороговых методов». Недостатком этого метода является возможность возникновения различных дополнительных искажений на изображении, например, сильное размытие изображения, снижение резкости изображения и т. д.

### Постановка задачи

Было проведено много исследований для эффективного решения **проблемы** блочной структуры без искажений других характеристик качества сжатого изображения [6, 11]. В общем, разные предложенные методы для устранения этого недостатка отличаются разной эффективностью, скоростью и вычислительной сложностью. Поэтому **необходимо разработать** метод, который эффективно уменьшает блочную структуру, имеет небольшую вычислительную сложность, простую реализацию и не вносит дополнительных искажений.

### Метод уменьшения блочной структуры

Уменьшение блочной структуры происходит за счет использования адаптивной низкочастотной пространственной фильтрации сжатого изображения, принимая во внимание то, что низкочастотная пространственная фильтрация может исказить резкость деталей изображения и контуры. Таким образом, операции фильтрации адаптируются к локальным свойствам изображения. Учитывают следующие три наблюдения [11]. Во-первых, зрительная система человека более чувствительна к блочной структуре в нерезких областях или однородных областях, чем в областях, содержащих детали изображения и контуры (сложные области). Таким образом, можно использовать относительно сильную фильтрацию в этих областях. Во-вторых, в менее однородных областях необходимо уменьшать силу фильтрации, а в сложных областях использовать слабую фильтрацию с целью сохранения резкости деталей изображения и контуров. В-третьих, при кодировании видеинформации фильтрацию в однородных областях необходимо применять внутри блоков так же, как и на границе блоков [11].

Вместо достаточно сложной фильтрации, предложенной в [8, 11], используются следующие функции, которые применяют в [6] и используются в [11] с другой целью:

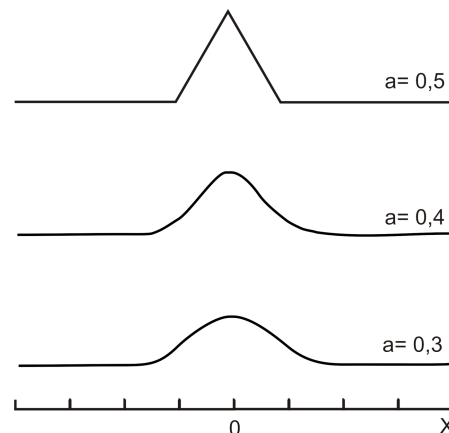
$$h(n) = \begin{cases} a, & n = 0, \\ \frac{1}{4}, & n = \pm 1, \\ \frac{1}{4} - \frac{a}{2}, & n = \pm 2. \end{cases} \quad (1)$$

Функция  $h(n)$  является «импульсной характеристикой», которую используют для фильтрации. Она соответствует эквивалентной взвешенной функции  $h(x)$ , как показано на рис. 1, для трех значений  $a$  [13]. Допустим  $h(n) = h(x)$  для  $x = n$ .

Сначала функция  $h(n)$  применяется по горизонтали для фильтрации вертикальных границ согласно дискретной пространственной свертке, которая выражается следующим уравнением [14]:

$$Z_x(x, y) = h(-2) \cdot z(x-2, y) + h(-1) \cdot z(x-1, y) + h(0) \cdot z(x, y) + \\ + h(1) \cdot z(x+1, y) + h(2) \cdot z(x+2, y), \quad (2)$$

где  $z(x, y)$  – значение пикселя  $(x, y)$ .

Рис. 1. Эквивалентная взвешенная функция  $h(x)$ 

Потом  $h(n)$  применяется вертикально для фильтрации горизонтальных границ, используя уравнение [14]:

$$Z_y(x, y) = h(-2) \cdot z(x, y - 2) + h(-1) \cdot z(x, y - 1) + h(0) \cdot z(x, y) + \\ + h(1) \cdot z(x, y + 1) + h(2) \cdot z(x, y + 2). \quad (3)$$

Области изображения классифицируются в соответствии с позициями пикселей в каждом блоке, как показано на рис. 2, вычисляя функции, используемые в [6, 8]:

$$C = \Phi(z0 - z1) + \Phi(z1 - z2) + \Phi(z2 - z3) + \Phi(z4 - z5) + \Phi(z5 - z6) + \Phi(z6 - z7), \quad (4)$$

где  $\Phi(\Delta) = 1$ , если  $|\Delta|$  меньше, чем порог  $th1$ , и  $\Phi(\Delta) = 0$  в другом случае. Величина  $th1 = 3$ . Величина  $\Phi(\Delta)$  для  $\Delta = z4 - z3$  не определяется в уравнении (4) потому, что она соответствует пикселям  $z3$  та  $z4$ , которые лежат на границе блоков.



Рис. 2. Пример позиций пикселей

Функция  $C$  соответствует «однородности» локальной области изображения вокруг границы блока [8, 11]. Разделим области изображения на однородные, почти однородные и сложные по следующим правилам:

1. Если величина  $C$  равняется 5 или 6, граница находится в однородной или очень сглаженной области. Фильтруются пиксели от  $z1$  до  $z6$  (рис. 2). Применяется сильная

фильтрация для пикселей  $z3$  и  $z4$  с использованием функции  $h(n)$  с  $a = 0,3$ . Применяется умеренная фильтрация для пикселей  $z2$  и  $z5$  с использованием функции  $h(n)$  с  $a = 0,4$ . Применяется слабая фильтрация для  $z1$  и  $z6$  с использованием функции  $h(n)$  с  $a = 0,5$ .

2. Если величина  $C$  равняется 2, 3 или 4, граница считается почти однородной. Фильтруются пиксели от  $z2$  до  $z5$ . Используется  $h(n)$  с  $a = 0,4$  для пикселей  $z3$  и  $z4$  с использованием функции  $h(n)$  с  $a = 0,5$  для пикселей  $z2$  и  $z5$ .

3. Если величина  $C$  равняется 0 или 1, граница считается сложной [11]. Применяется слабая фильтрация с использованием функции  $h(n)$  с  $a = 0,5$  для пикселей  $z3$  и  $z4$ .

Предлагается использовать следующий алгоритм с использованием интерполяционных функций вместо уравнения (1) для повышения быстродействия метода (рис. 3).

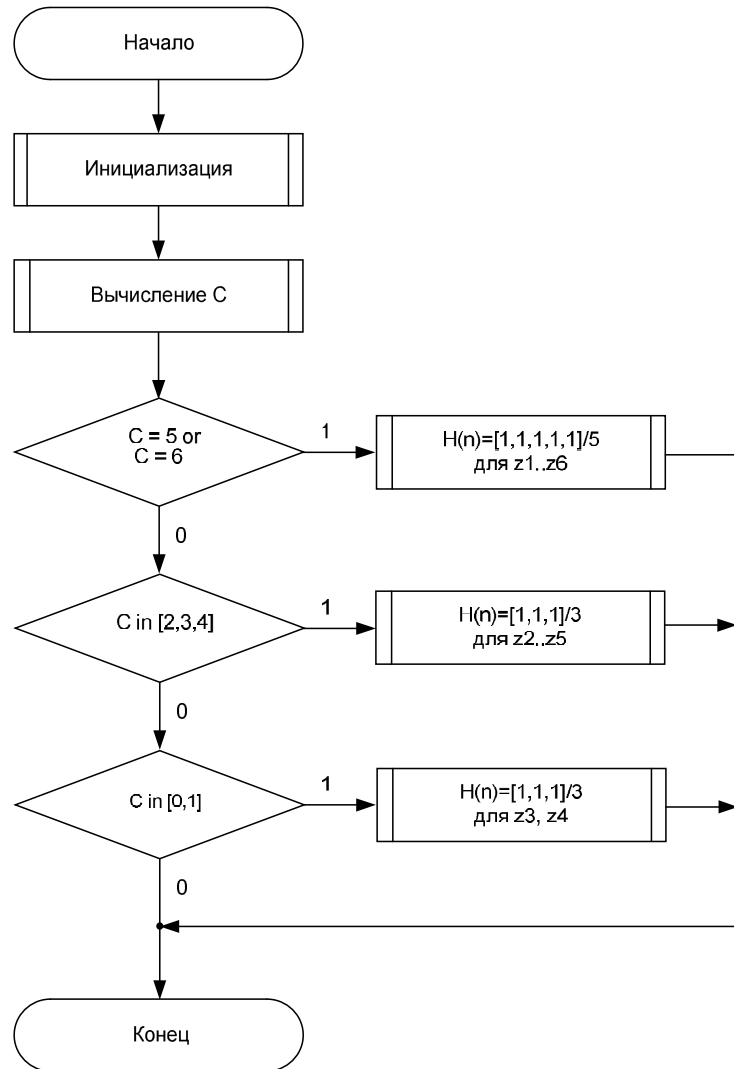


Рис. 3. Алгоритм фильтрации с использованием интерполяционных функций

### Экспериментальные исследования

Сжатое изображение с блочной структурой приведено на рис. 4. Пиковое соотношение сигнал/шум (PSNR) данного изображения – 27,77 дБ. На рис. 5 приведен результат обработки изображения предложенным методом. Можно наблюдать улучшение визуального качества изображения, обработанного предложенным методом. PSNR обработанного изображения – 28,25 дБ.

В таблице 1 приведены значения PSNR при использовании различных методов для пяти

тестовых изображений.

Таблица 1

**Значения PSNR для разных методов**

Без обработки	Метод из [6]	Метод из [11]	Предложенный метод
22,81	23,34	23,21	<b>23,58</b>
26,02	<b>26,85</b>	26,56	26,81
27,77	28,05	27,90	<b>28,25</b>
28,85	29,17	29,09	<b>29,23</b>
29,26	29,42	29,32	<b>29,57</b>



Рис. 4. Сжатое изображение (PSNR = 27,77 дБ)



Рис. 5. Результат обработки предложенным методом (PSNR = 28,25 дБ)

**Выводы**

Предложен относительно простой и эффективный метод, который использует адаптивную фильтрацию и адаптивную интерполяцию. Эффективность предложенного метода лучше в случаях большой степени сжатия. Значение PSNR, полученные с использованием предложенного адаптивного метода, лучше в большинстве случаев, чем значения,

полученные в [6], и значительно лучше, чем значения, полученные в [11] (таблица 1).

В целом, результаты, полученные с использованием предложенного метода, демонстрируют высокую эффективность алгоритма, учитывая относительно небольшую вычислительную сложность (например, по сравнению с методом фильтрации в [8]), что важно для использования в приложениях реального времени.

### СПИСОК ЛИТЕРАТУРЫ

1. Журавель И. М. Краткий курс теории обработки изображений [Електронний ресурс] / И. М. Журавель. Режим доступу : <http://matlab.exponenta.ru/imageprocess/book2/>.
2. Lai Yung-Kai. Removal of Blocking Artifacts of DCT Transform by Classified Space-Frequency Filtering / Yung-Kai Lai, Jin Li, C.-C. Jay Kuo // 29th Asilomar Conference on Signals, Systems and Computers. – 1995. – 2-Volume Set. – P. 1457 – 1461.
3. Lai Y. K. Image enhancement for low bit-rate JPEG and MPEG coding via postprocessing / Y. K. Lai, J. Li, C. C. J. Kuo // Proc. SPIE. – 1996. – Vol. 2727. – P. 1484 – 1494.
4. Richardson Iain E. G. Video CODEC Design / Iain E. G. Richardson. – John Wiley & Sons, 2002. – 303 p.
5. Winkler Stefan. Color image quality on the Internet / Stefan Winkler // Proc. SPIE/IS&T Internet Imaging. – 2004. – vol. 5304. – P. 118 – 131.
6. Xiong Zixiang. A Deblocking Algorithm for JPEG Compressed Images Using Overcomplete Wavelet Representations, / Zixiang Xiong, M. T. Orchard, Yaqin Zhang // IEEE Trans. Circuits Syst. [Video Technol]. – 1997. – vol. 7. – P. 433 – 437.
7. Shen Mei-Yin. Fast compression artifact reduction technique based on nonlinear filtering / Mei-Yin Shen, C.-C. J. Kuo // Proc. of IEEE ISCAS'99. – 1999. – Vol. 4. – P. 179 – 182.
8. Jeon B. Blocking Artifacts Reduction in Image Compression with Block Boundary Discontinuity Criterion / B. Jeon, J. Jeong // IEEE Trans. Circuits And Systems for Video Technology. – 1998. – Vol. 8 (3). – P. 345 – 357.
9. Використання вейвлет-перетворення для зменшення блокінг-ефекту [Електронний ресурс] / В. В. Гармаш, О. В. Васьковський // Наукові праці Вінницького національного технічного університету. – № 4. – 2008. Режим доступу до журн.: [http://www.nbuv.gov.ua/e-journals/VNTU/2008-4/2008-4.files/uk/08vvgobe\\_uk.pdf](http://www.nbuv.gov.ua/e-journals/VNTU/2008-4/2008-4.files/uk/08vvgobe_uk.pdf).
10. Гармаш В. В. Метод зменшення блокової структури JPEG-зображенъ / В. В. Гармаш, А. Я. Кулик // Штучний інтелект. – 2010. – № 4. – С. 177 – 184.
11. Lee Y. L. Blocking effect reduction of JPEG images by signal adaptive filtering / Y. L. Lee, H. C. Kim, H. W. Park // IEEE Trans. on Image Processing. – February 1998. – № 7 (2). – С. 229 – 234.
12. Petrescu D. Efficient implementation of video post-processing algorithms on the BOPS parallel architecture / D. Petrescu // Acoustics, Speech, and Signal Processing. – 2001. – Vol. 2. – P. 945 – 948.
13. Burt P. J. The Laplacian Pyramid as a Compact Image Code / P. J. Burt, E. H. Adelson // IEEE Transactions on Communications. – 1983. – Vol. 31. – No. 4. – P. 532 – 540.
14. Kon S. K. Image Enhancement with Attenuated Blocking Artifact in Transform Domain / S. K. Kon, J. H. Yoon, Y. M. Ro // IEICE Trans. Inf. & Syst. – January 2002. – Vol. E85-D. – No. 1. – P. 293 – 297.

**Гармаш Владимир Владимирович** – ассистент кафедры автоматики и информационно-измерительной техники, e-mail: vv2211@ukr.net, тел.: (0432)-598141.

**Кулик Анатолий Ярославович** – д. т. н., профессор кафедры автоматики и информационно-измерительной техники.

**Васюра Анатолий Степанович** – к. т. н., профессор кафедры автоматики и информационно-измерительной техники.

**Васьковский Александр Викторович** – аспирант кафедры автоматики и информационно-измерительной техники.

Винницкий национальный технический университет.